

Zakład Badawczo Leczniczy Chorób Nerwowo – Mięśniowych  
Instytut Medycyny Doświadczalnej i Klinicznej PAN  
ul. Pawińskiego 5, 02-106 Warszawa  
Tel/ fax /4822/ 608 65 26

### Badanie wycinka mięśniowego w mikroskopie świetlnym i elektronowym

Nr: 22/14

Imię i nazwisko :

Wiek: 75

Rozpoznanie: Podejrzenie miopatii metabolicznej

Data pobrania wycinka: 20 V 2014r.

Mięsień: quadriceps dx.

Barwienie: H-E, trichrom Gomoriego, DHB, DHM, DPNH, ATP-azy

W pobranym wycinku włókna mięśniowe o różnej średnicy wymieszane nieregularnie tworzą pęczki oddzielone zwiększoną ilością tkanki łącznej w barwieniu H-E i trichromem Gomoriego widoczne są punktowe wakuolki rozrzucone w obrębie sarkoplazmy komórek. Podział włókien na typy zachowany prawidłowo we włóknach typu 1 w barwieniu enzymami DHB, DHM i DPNH widoczne są centralnie umieszczone ubytki aktywności tych enzymów. Barwienie ATP-azami nie odbiega od normy.

Wnioski: obraz sugeruje cechy miogennego uszkodzenia wymaga przybliżenia rodzaju defektu w M-E.

Ultrastruktura włókien mięśniowych cechuje prawidłowy układ miofibrilli i sarkomerów . Widoczne jest ogniskowe gromadzenie mitochondriów o bardzo zwartej strukturze grzebieni, zwiększonej gęstości i małej średnicy. Widoczne jest także niewielkie ogniskowe gromadzenie glikogenu oraz lipofuscyny na obwodzie włókien widoczne jest także niewielkie gromadzenie struktur lipidopodobnych.

4714926  
Prof. dr hab. med.  
Anna Fidziańska-Dolot  
specjalista I stopnia  
02-758 Warszawa  
ul. Neseberska 3 m. 41

Prof. dr hab. A. Fidziańska - Dolot



Przypadek: Nr 22/14

Rozpoznanie: Podejrzenie miopatii metabolicznej

Fig. 1,2. Włókna mięśniowe o prawidłowej ultrastrukturze miofibrylli i sarkomerów.

Fig. 3,4,5. Widoczne miejscowe gromadzenie glikogenu.

Fig. 6. Ogniskowy rozpad miofibrylli i okołojądrowe gromadzenie mitochondriów

### Summary

A 75-year-old patient with suspected metabolic myopathy was examined. A biopsy of *quadriceps dexter* was performed. Electronmicroscopy analysis revealed normal structure of myofibrils and sarcomeres (Fig. 1,2). Focal accumulation of glycogen was visible (Fig 3,4,5). In some myocytes we observed focal disintegration of fibers and perinuclear accumulation of mitochondria (Fig. 6).

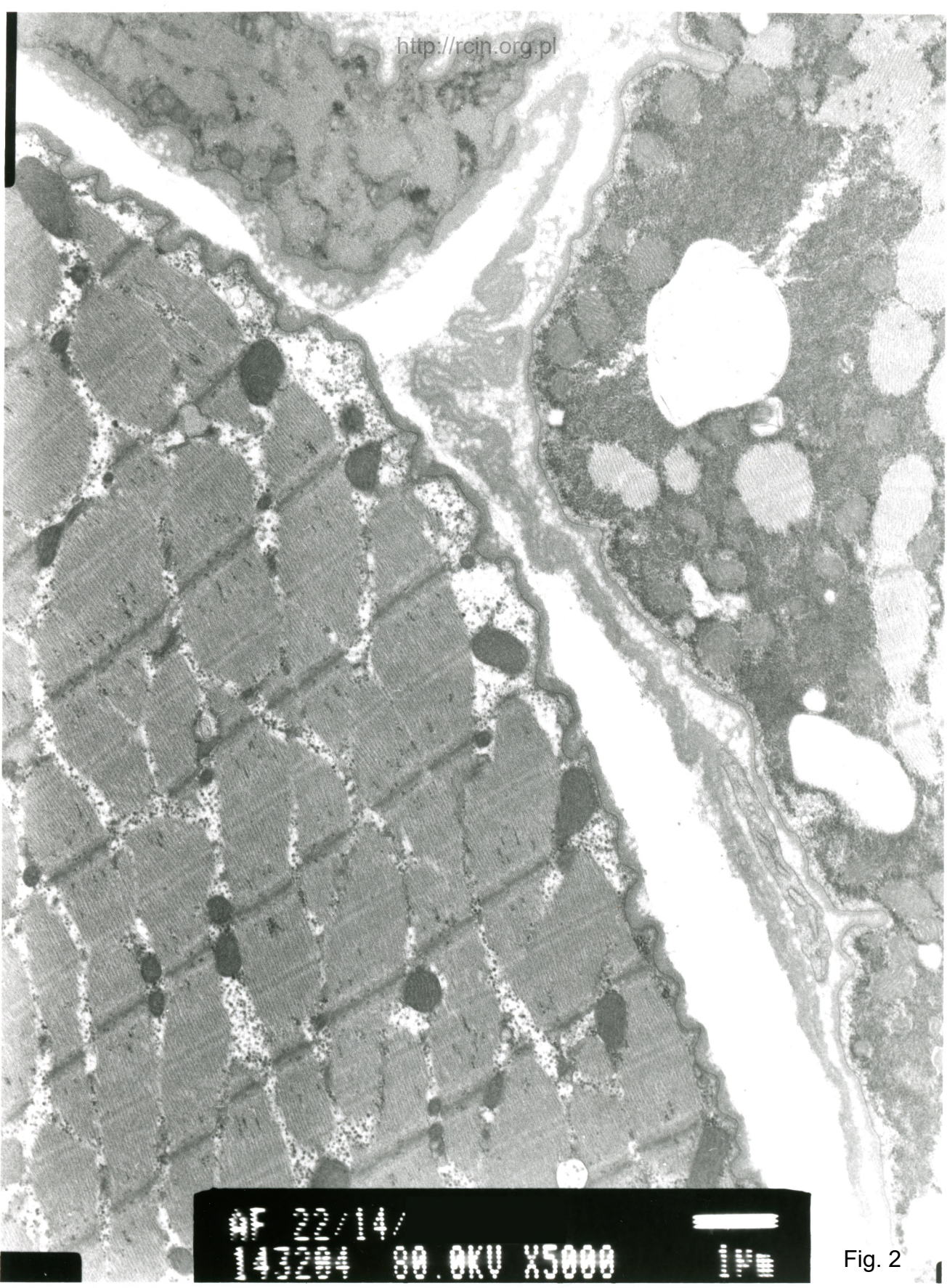




AF 22/14/  
11100 00 AKU X5000

Fig. 1

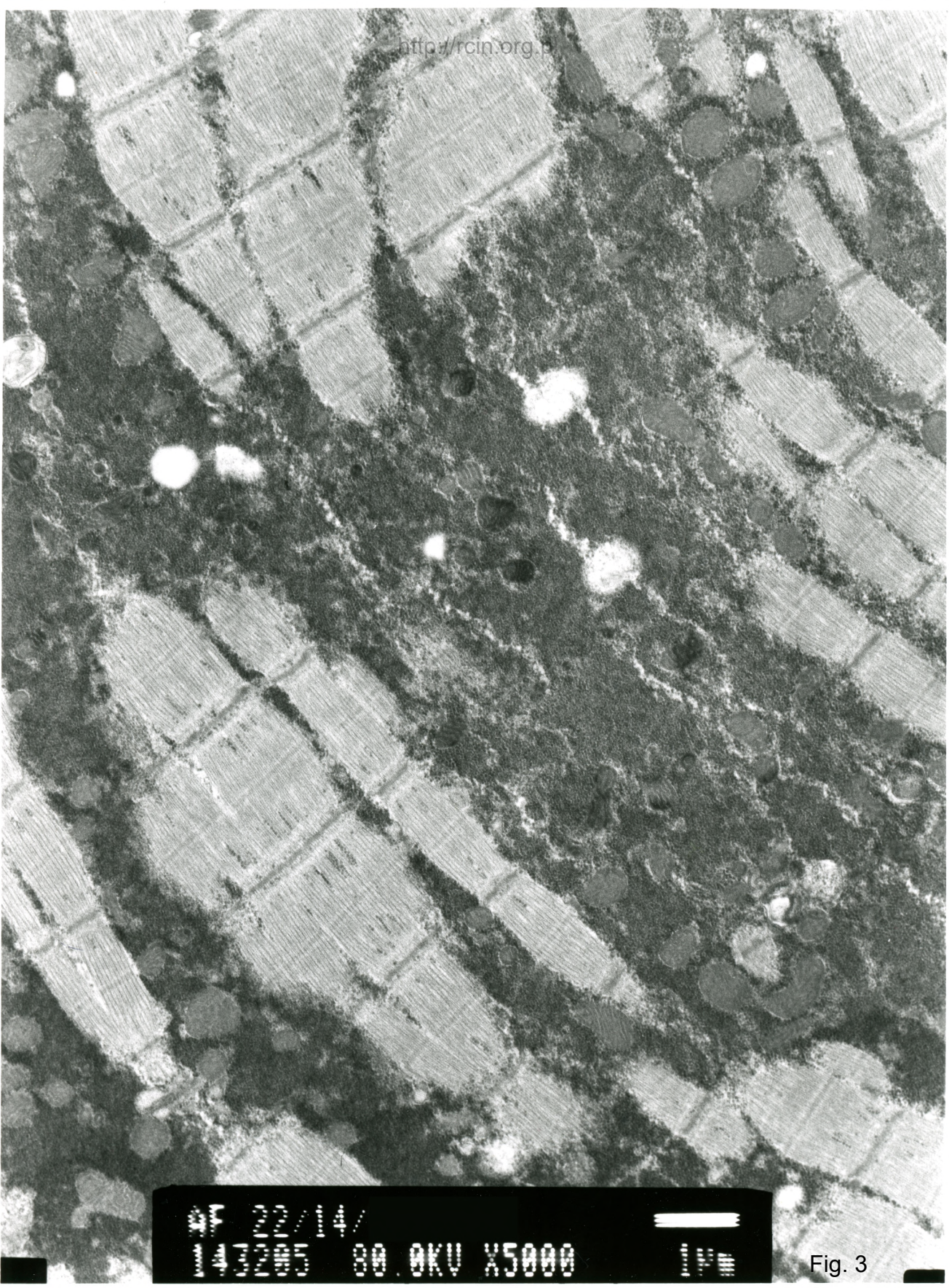




14/02/14  
14/02/14 80.0KV X5000

Fig. 2

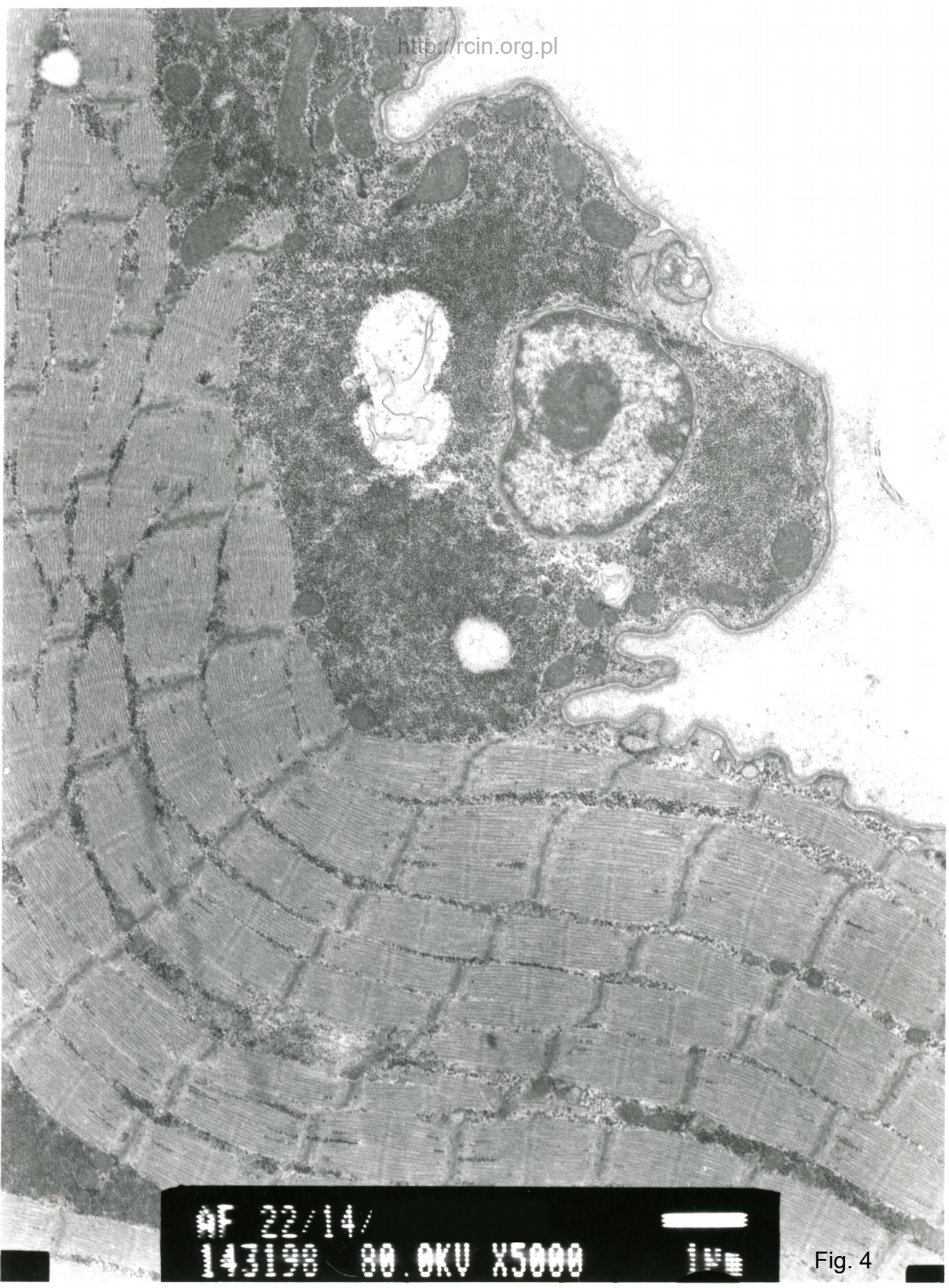




000003 00 0KV X5000

Fig. 3

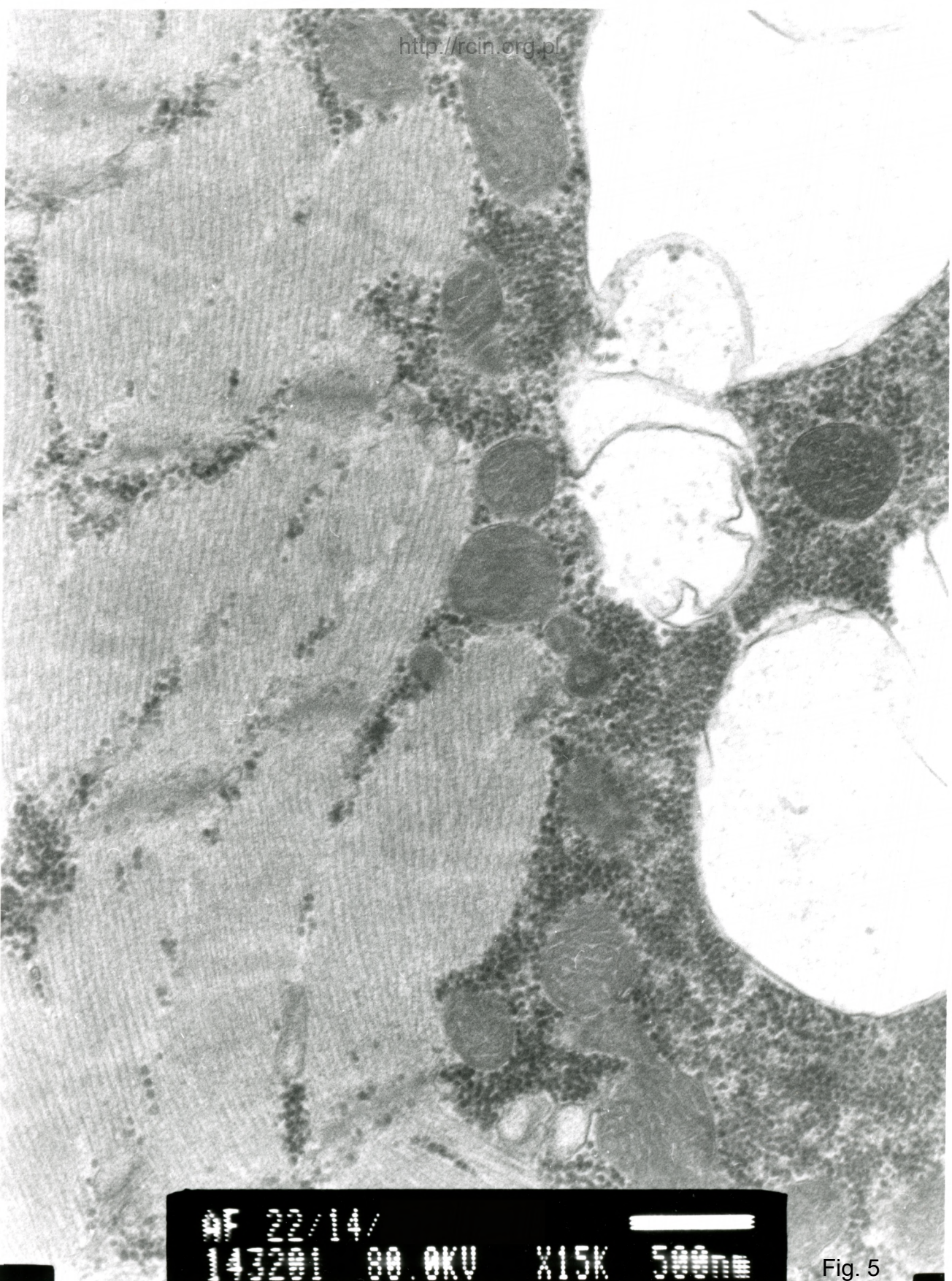




97 22/14/  
140900 80.0KV X5000

Fig. 4

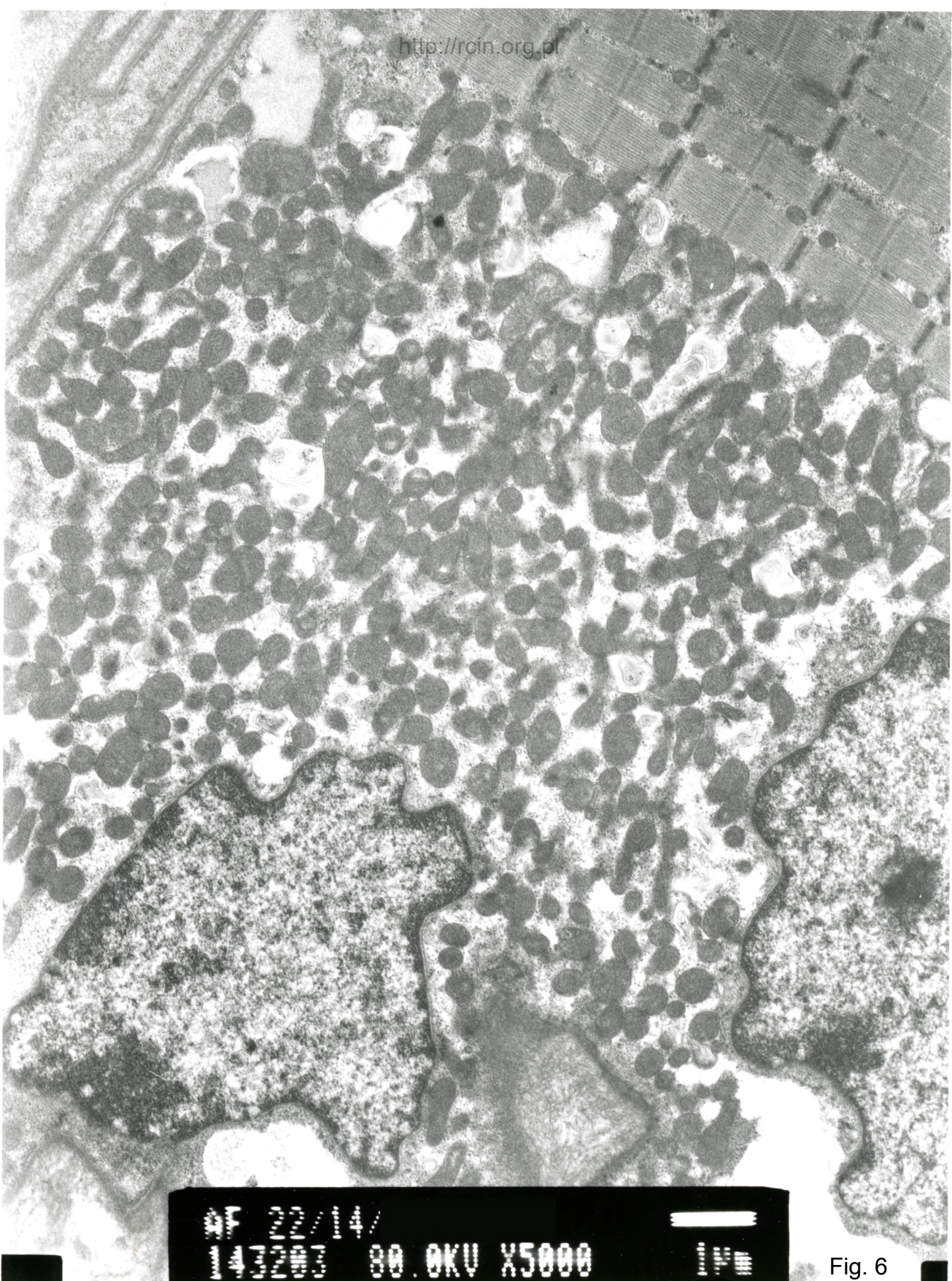




200kV X15K 500nm

Fig. 5





00.0KV X5000

Fig. 6